

6,7-Dihydroxyflavone Dramatically Intensifies the Susceptibility of Methicillin-Resistant or -Sensitive *Staphylococcus aureus* to β -Lactams

Youichi Sato, Hirofumi Shibata, Naokatu Arakaki, and Tomihiko Higuti*

Faculty of Pharmaceutical Sciences, The University of Tokushima, Tokushima 770-8505, Japan

Received 27 August 2003/Returned for modification 11 November 2003/Accepted 19 December 2003

We have demonstrated that 6,7-dihydroxyflavone by itself has only a weak antibacterial effect on methicillin-resistant *Staphylococcus aureus* (MRSA) but that at concentrations less than MIC it synergistically elevates the susceptibility of clinically isolated MRSA and methicillin-sensitive *S. aureus* strains to β -lactam antibiotics from 8- to 32,800-fold.

Infections by methicillin-resistant *Staphylococcus aureus* (MRSA), which occur in both hospitals and the community, present a major therapeutic problem (9). Vancomycin and its derivatives are currently used as antibacterial agents against infectious diseases due to MRSA. However, vancomycin-resistant *S. aureus* has emerged (2, 7, 18, 19). Thus, the development of a new anti-MRSA agents is urgently needed.

Recently, we found that apigenin, luteolin, and other flavonoids, all having similar chemical structures, are selectively toxic to MRSA and methicillin-sensitive *S. aureus* (MSSA) (13) and that these flavonoids elevated the susceptibility to β -lactam antibiotics in MRSA (5). We named these compounds intensifiers of β -lactam susceptibility in MRSA. Flavonoids are secondary plant metabolites present in fruit, vegetables, and beverages such as tea and wine, and they possess anti-inflammatory, antiallergic, antiviral, and anticarcinogenic properties (10).

Here we demonstrated that 6,7-dihydroxyflavone dramatically intensifies from 8- to 32,800-fold the susceptibility to β -lactam antibiotics in all clinically isolated strains of MRSA and MSSA examined.

S. aureus strains 1 to 22, 1003, 1010, 1020, and 1032 (clinical isolates) and COL, RN4220, and N315 were used. Some properties of the clinical strains of *S. aureus* used throughout the present study were determined previously (15).

The MICs of 6,7-dihydroxyflavone (Funakoshi Co. Ltd., Tokyo, Japan) and of antibiotics alone and in combination with 6,7-dihydroxyflavone against the MRSA and MSSA strains were determined as described previously (13). The fractional inhibitory concentration (FIC) was calculated as the MIC of oxacillin and 6,7-dihydroxyflavone in combination divided by the MIC of oxacillin or 6,7-dihydroxyflavone alone (1).

The viable-cell number was determined as follows. MRSA strain 5 (10^6 CFU/ml) was incubated at 37°C in cation-adjusted Mueller-Hinton (MH) broth containing either 8 μ g of methicillin/ml, 25 μ g of 6,7-dihydroxyflavone/ml, or both. Viability was confirmed by culturing the cells on MH agar plates for 24 h.

Detection of PBP2a was performed by Western blot analysis.

An antibody against PBP2a was prepared with a peptide of PBP2a (CGSKKFEKGMKKLGVGEDIPSDYPC) (14), which was synthesized by Oriental Yeast Co. (Osaka, Japan) by a solid-phase method. The purity and molecular weight of the peptide were confirmed by reverse-phase high-pressure liquid chromatography and mass analysis (Voyager). An antibody against the peptide conjugated to bovine serum albumin was raised in rabbits by Oriental Yeast Co. MRSA 5 was incubated for 5 h at 37°C in a brain heart infusion broth containing 6,7-dihydroxyflavone (12.5 or 25 μ g/ml), and the cell membrane was prepared as described by Oliver et al. (11). After sodium dodecyl sulfate-polyacrylamide gel electrophoresis (8), proteins were transferred electrophoretically to a nitrocellulose membrane (Bio-Rad), essentially as described by Towbin et al. (17). PBP2a was identified by the luminescence method (ECL Plus; Amersham Biosciences) with the antibody against the peptide of PBP2a (6).

We found that 6,7-dihydroxyflavone (Fig. 1) has a weak antibacterial effect on MRSA but that, at a concentration less than its MIC, it elevates the susceptibility to oxacillin (Table 1). The FIC indices of the combination of oxacillin and 6,7-dihydroxyflavone against 20 isolates of MRSA were found to be between 0.251 and 0.504. This result indicates that the effect of the combination of oxacillin and 6,7-dihydroxyflavone is synergistic.

We also found that 6,7-dihydroxyflavone dramatically intensifies from 8- to 32,800-fold the susceptibility of MRSA strains to β -lactams such as methicillin, cephalosporin, piperacillin, and cefotaxime in all strains of MRSA and MSSA examined (Table 2). However, 6,7-dihydroxyflavone had no effect on the susceptibility to the other antibiotics indicated in Table 2 except that it also increased the susceptibility to streptomycin, but only weakly. Figure 2 shows the synergistic effects of β -lactams and 6,7-dihydroxyflavone in the growth of MRSA 5. In addition, 6,7-dihydroxyflavone dose dependently inhibited the growth of MRSA in the absence of β -lactams (Fig. 2).

We also examined the effects of 6,7-dihydroxyflavone and methicillin on MRSA viability. The growth rate of MRSA was slightly inhibited in the presence of 25 μ g of 6,7-dihydroxyflavone/ml. Methicillin alone (8 μ g/ml) had little effect on growth. In contrast, a combination of 25 μ g of 6,7-dihydroxyflavone/ml and 8 μ g of methicillin/ml, the concentration of which was

* Corresponding author. Mailing address: Faculty of Pharmaceutical Sciences, The University of Tokushima, 1-78 Shomachi, Tokushima 770-8505, Japan. Phone: 81-88-633-7254. Fax: 81-88-633-9550. E-mail: thiguti@ph.tokushima-u.ac.jp.

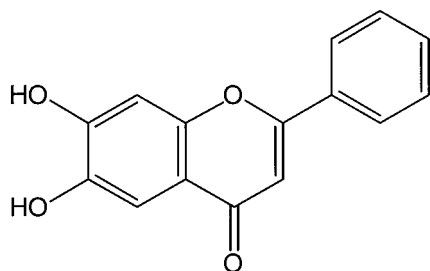


FIG. 1. Chemical structure of 6,7-dihydroxyflavone.

much lower than the MIC (1,024 $\mu\text{g/ml}$), greatly decreased the viable-cell number (Fig. 3). Therefore, these data clearly demonstrate that the combination of methicillin and 6,7-dihydroxyflavone results in synergistic bactericidal activity against MRSA.

MRSA is resistant to all β -lactams because of the acquisition of a *mecA* gene cassette, which produces an additional transpeptidase called PBP2a. We therefore examined the effects of 6,7-dihydroxyflavone on the amount of PBP2a by using

TABLE 1. MICs and FIC indices of oxacillin in the presence of 6,7-dihydroxyflavone against MRSA and MSSA

Strain no.	MIC ($\mu\text{g/ml}$)				FIC index ^a
	6,7-Dihydroxyflavone alone	Oxacillin			
		Alone	With 6,7-dihydroxyflavone at:		
			12.5 $\mu\text{g/ml}$	25 $\mu\text{g/ml}$	
MRSA					
1	50	512	4	2	0.258
2	25	512	0.25	ND ^b	0.500
3	50	256	0.5	0.25	0.252
4	25	512	2	0.13	0.504
5	50	512	0.5	<0.06	0.251
6	50	128	0.5	0.25	0.254
7	25	512	0.25	ND	0.500
8	50	512	1	0.25	0.252
9	25	512	0.25	ND	0.500
10	50	128	0.25	<0.06	0.252
12	50	512	1	1	0.252
13	50	512	2	1	0.254
16	25	512	2	ND	0.504
17	25	128	0.5	ND	0.504
18	25	512	1	ND	0.502
19	25	512	1	ND	0.502
20	50	64	0.13	<0.06	0.252
21	50	128	0.13	0.13	0.251
22	50	128	0.25	0.13	0.252
COL	50	512	1	0.25	0.252
N315	50	64	<0.06	<0.06	0.251
MSSA					
1003	50	0.5	0.13	<0.06	0.510
1010	50	0.5	0.13	0.13	0.510
1020	50	0.25	<0.06	<0.06	0.490
1032	50	0.25	<0.06	<0.06	0.490
ATCC 6538	50	<0.06	<0.06	<0.06	1.250
RN4220	25	0.13	<0.06	ND	0.962

^a FIC index \leq 0.5, synergy effect; $0.5 <$ FIC index \leq 1, additive effect.

^b ND, not determined.

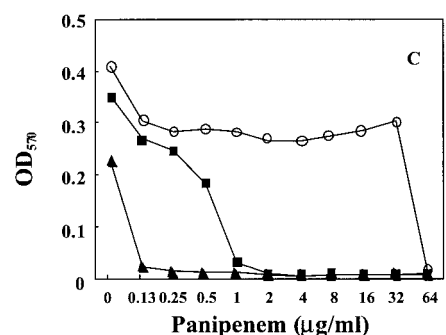
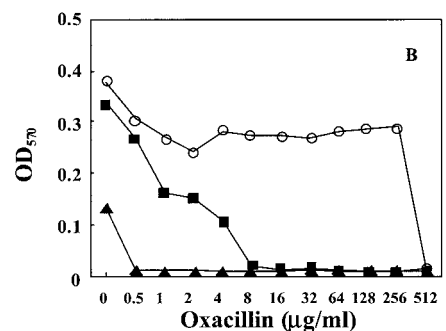
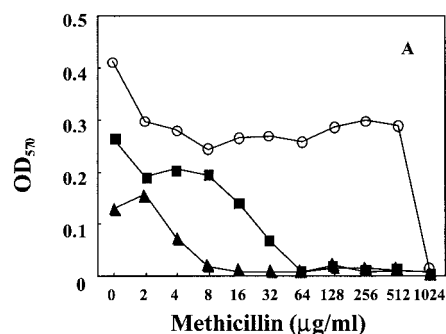


FIG. 2. Synergistic inhibition of growth by 6,7-dihydroxyflavone and methicillin (A), oxacillin (B), or panipenem (C) in MRSA 5. Bacteria were cultured at 37°C in cation-adjusted MH broth, to which was added increasing amounts of 6,7-dihydroxyflavone and the indicated concentrations of methicillin, oxacillin, and panipenem. The bacterial growth was detected as the change in optical density at 570 nm (OD_{570}) at 24 h. Levels of 6,7-dihydroxyflavone: 0 (control; ○), 12.5 $\mu\text{g/ml}$ (■), and 25 $\mu\text{g/ml}$ (▲).

the antibody against the peptide of PBP2a. Figure 4 clearly demonstrates that 6,7-dihydroxyflavone had no effect on the amount of PBP2a in strain 5.

Guz et al. (4) have demonstrated that flavonolignan and flavone derivatives are potent inhibitors of the NorA multidrug resistance pump (12) in *S. aureus*. However, Table 2 clearly demonstrates that 6,7-dihydroxyflavone had no effect on the susceptibility to ofloxacin of MRSA strains. Furthermore, we have confirmed that 6,7-dihydroxyflavone has no effect on the uptake of oxacillin in MRSA 5 (Y. Miwa, H. Shibata, and T. Higuti, unpublished work).

Alternatively, we propose a model for the mechanism of high resistance of MRSA to β -lactams and the massive reduc-

TABLE 2. MICs of various antibacterial agents for MRSA and MSSA in the absence or presence of 6,7-dihydroxyflavone

Strain no.	MIC ($\mu\text{g/ml}$) ^a																																																																																																																																																																																																																																																																																																																																																																																																																																																																																																																																																																																																																																																												
	MET	HAP	PAPM	CTX	VAN	STR	OFX	TET	ERY	KAN	MET	HAP	PAPM	CTX	VAN	STR	OFX	TET	ERY	KAN																																																																																																																																																																																																																																																																																																																																																																																																																																																																																																																																																																																																																																									
MRSA																						1	>1,024	4	128	0.063	128	0.031	1,024	64	1	1	32	8	16	16	0.5	0.5	>1,024	>1,024	>1,024	>1,024	>1,024	2	>1,024	0.25	128	0.0078	128	0.0078	512	0.25	1	0.5	64	16	128	128	0.5	0.5	>1,024	>1,024	>1,024	>1,024	>1,024	3	1,024	0.25	64	0.5	64	0.063	1,024	0.25	2	1	64	16	32	64	0.5	0.5	>1,024	>1,024	>1,024	>1,024	>1,024	4	>1,024	4	64	4	64	0.13	1,024	16	2	2	32	8	16	16	128	128	>1,024	>1,024	>1,024	>1,024	>1,024	5	>1,024	0.25	128	0.0039	64	0.0039	1,024	8	1	1	32	16	32	32	0.5	0.5	>1,024	>1,024	>1,024	>1,024	>1,024	6	1,024	8	64	0.25	64	0.031	1,024	0.25	2	0.5	64	16	64	32	0.5	0.5	>1,024	>1,024	>1,024	>1,024	>1,024	7	>1,024	4	64	8	128	0.063	1,024	8	2	1	64	16	32	32	0.5	0.5	>1,024	>1,024	>1,024	>1,024	>1,024	8	>1,024	4	64	8	64	0.13	1,024	16	2	1	64	16	32	32	0.5	0.5	>1,024	0.25	>1,024	>1,024	>1,024	9	>1,024	2	64	0.002	64	0.002	512	0.25	2	0.5	32	8	128	128	128	128	>1,024	>1,024	>1,024	>1,024	>1,024	10	512	2	64	0.016	8	0.0078	512	0.25	1	1	64	16	512	256	0.5	0.5	>1,024	>1,024	>1,024	>1,024	>1,024	12	>1,024	4	128	0.25	64	0.13	1,024	32	2	1	64	8	1	1	0.5	0.5	>1,024	>1,024	>1,024	>1,024	>1,024	13	>1,024	4	128	2	128	0.13	1,024	32	2	1	64	16	16	1	0.5	0.5	>1,024	>1,024	>1,024	>1,024	>1,024	16	>1,024	8	64	8	64	0.13	512	4	1	1	64	16	32	32	0.5	0.5	>1,024	>1,024	>1,024	>1,024	>1,024	17	>1,024	16	64	1	32	0.031	512	4	2	2	32	16	1	1	128	128	>1,024	>1,024	>1,024	>1,024	>1,024	18	>1,024	8	32	0.5	32	0.031	512	4	2	2	64	16	1	1	128	64	>1,024	>1,024	>1,024	>1,024	>1,024	19	>1,024	32	64	0.25	32	0.13	1,024	8	2	1	64	16	8	32	256	128	>1,024	0.25	>1,024	>1,024	>1,024	20	64	2	16	0.031	2	0.0039	32	0.25	1	1	64	16	32	32	256	256	0.25	0.25	>1,024	>1,024	>1,024	21	128	0.25	32	0.25	4	0.016	256	0.25	1	1	32	8	1	1	0.5	0.5	0.25	0.25	0.25	0.25	16	22	128	2	16	0.25	4	0.016	128	0.25	1	1	32	8	1	1	0.5	0.5	0.25	0.25	0.25	0.25	16	COL	>1,024	4	64	0.5	64	0.031	1,024	0.25	2	1	32	4	2	2	128	128	>1,024	0.13	>1,024	>1,024	512	N315	8	2	32	0.002	8	0.002	256	0.25	0.5	0.25	32	4	1	1	0.25	0.25	>1,024	>1,024	>1,024	>1,024	512	MSSA																						1003	2	0.25	0.25	0.063	0.063	0.016	2	0.25	1	0.5	32	8	1	1	0.25	0.25	0.13	0.13	0.13	0.13	16	1010	1	0.25	0.5	0.13	0.063	0.0078	2	0.25	1	1	32	16	1	2	0.5	0.5	0.25	0.25	0.25	0.25	8	1020	1	0.25	0.13	0.031	0.031	0.0039	0.25	0.25	1	0.5	32	16	1	1	0.5	0.5	0.13	0.13	0.13	0.13	16	1032	1	0.25	0.25	0.0039	0.063	0.0039	2	0.25	1	1	32	32	1	1	0.5	0.5	0.25	0.25	0.25	0.25	16	ATCC 6538	1	0.25	0.13	0.0039	0.031	0.002	0.25	0.25	1	1	32	16	1	1	0.5	0.5	0.25	0.25	0.13	0.13	16	RN4220	2	0.25	0.13	0.002	0.031	0.002	0.25	0.0078	1	0.25	32	4	1	1	0.5	0.5	0.25	0.25	0.25	0.25	8
1	>1,024	4	128	0.063	128	0.031	1,024	64	1	1	32	8	16	16	0.5	0.5	>1,024	>1,024	>1,024	>1,024	>1,024	2	>1,024	0.25	128	0.0078	128	0.0078	512	0.25	1	0.5	64	16	128	128	0.5	0.5	>1,024	>1,024	>1,024	>1,024	>1,024	3	1,024	0.25	64	0.5	64	0.063	1,024	0.25	2	1	64	16	32	64	0.5	0.5	>1,024	>1,024	>1,024	>1,024	>1,024	4	>1,024	4	64	4	64	0.13	1,024	16	2	2	32	8	16	16	128	128	>1,024	>1,024	>1,024	>1,024	>1,024	5	>1,024	0.25	128	0.0039	64	0.0039	1,024	8	1	1	32	16	32	32	0.5	0.5	>1,024	>1,024	>1,024	>1,024	>1,024	6	1,024	8	64	0.25	64	0.031	1,024	0.25	2	0.5	64	16	64	32	0.5	0.5	>1,024	>1,024	>1,024	>1,024	>1,024	7	>1,024	4	64	8	128	0.063	1,024	8	2	1	64	16	32	32	0.5	0.5	>1,024	>1,024	>1,024	>1,024	>1,024	8	>1,024	4	64	8	64	0.13	1,024	16	2	1	64	16	32	32	0.5	0.5	>1,024	0.25	>1,024	>1,024	>1,024	9	>1,024	2	64	0.002	64	0.002	512	0.25	2	0.5	32	8	128	128	128	128	>1,024	>1,024	>1,024	>1,024	>1,024	10	512	2	64	0.016	8	0.0078	512	0.25	1	1	64	16	512	256	0.5	0.5	>1,024	>1,024	>1,024	>1,024	>1,024	12	>1,024	4	128	0.25	64	0.13	1,024	32	2	1	64	8	1	1	0.5	0.5	>1,024	>1,024	>1,024	>1,024	>1,024	13	>1,024	4	128	2	128	0.13	1,024	32	2	1	64	16	16	1	0.5	0.5	>1,024	>1,024	>1,024	>1,024	>1,024	16	>1,024	8	64	8	64	0.13	512	4	1	1	64	16	32	32	0.5	0.5	>1,024	>1,024	>1,024	>1,024	>1,024	17	>1,024	16	64	1	32	0.031	512	4	2	2	32	16	1	1	128	128	>1,024	>1,024	>1,024	>1,024	>1,024	18	>1,024	8	32	0.5	32	0.031	512	4	2	2	64	16	1	1	128	64	>1,024	>1,024	>1,024	>1,024	>1,024	19	>1,024	32	64	0.25	32	0.13	1,024	8	2	1	64	16	8	32	256	128	>1,024	0.25	>1,024	>1,024	>1,024	20	64	2	16	0.031	2	0.0039	32	0.25	1	1	64	16	32	32	256	256	0.25	0.25	>1,024	>1,024	>1,024	21	128	0.25	32	0.25	4	0.016	256	0.25	1	1	32	8	1	1	0.5	0.5	0.25	0.25	0.25	0.25	16	22	128	2	16	0.25	4	0.016	128	0.25	1	1	32	8	1	1	0.5	0.5	0.25	0.25	0.25	0.25	16	COL	>1,024	4	64	0.5	64	0.031	1,024	0.25	2	1	32	4	2	2	128	128	>1,024	0.13	>1,024	>1,024	512	N315	8	2	32	0.002	8	0.002	256	0.25	0.5	0.25	32	4	1	1	0.25	0.25	>1,024	>1,024	>1,024	>1,024	512	MSSA																						1003	2	0.25	0.25	0.063	0.063	0.016	2	0.25	1	0.5	32	8	1	1	0.25	0.25	0.13	0.13	0.13	0.13	16	1010	1	0.25	0.5	0.13	0.063	0.0078	2	0.25	1	1	32	16	1	2	0.5	0.5	0.25	0.25	0.25	0.25	8	1020	1	0.25	0.13	0.031	0.031	0.0039	0.25	0.25	1	0.5	32	16	1	1	0.5	0.5	0.13	0.13	0.13	0.13	16	1032	1	0.25	0.25	0.0039	0.063	0.0039	2	0.25	1	1	32	32	1	1	0.5	0.5	0.25	0.25	0.25	0.25	16	ATCC 6538	1	0.25	0.13	0.0039	0.031	0.002	0.25	0.25	1	1	32	16	1	1	0.5	0.5	0.25	0.25	0.13	0.13	16	RN4220	2	0.25	0.13	0.002	0.031	0.002	0.25	0.0078	1	0.25	32	4	1	1	0.5	0.5	0.25	0.25	0.25	0.25	8																						
2	>1,024	0.25	128	0.0078	128	0.0078	512	0.25	1	0.5	64	16	128	128	0.5	0.5	>1,024	>1,024	>1,024	>1,024	>1,024	3	1,024	0.25	64	0.5	64	0.063	1,024	0.25	2	1	64	16	32	64	0.5	0.5	>1,024	>1,024	>1,024	>1,024	>1,024	4	>1,024	4	64	4	64	0.13	1,024	16	2	2	32	8	16	16	128	128	>1,024	>1,024	>1,024	>1,024	>1,024	5	>1,024	0.25	128	0.0039	64	0.0039	1,024	8	1	1	32	16	32	32	0.5	0.5	>1,024	>1,024	>1,024	>1,024	>1,024	6	1,024	8	64	0.25	64	0.031	1,024	0.25	2	0.5	64	16	64	32	0.5	0.5	>1,024	>1,024	>1,024	>1,024	>1,024	7	>1,024	4	64	8	128	0.063	1,024	8	2	1	64	16	32	32	0.5	0.5	>1,024	>1,024	>1,024	>1,024	>1,024	8	>1,024	4	64	8	64	0.13	1,024	16	2	1	64	16	32	32	0.5	0.5	>1,024	0.25	>1,024	>1,024	>1,024	9	>1,024	2	64	0.002	64	0.002	512	0.25	2	0.5	32	8	128	128	128	128	>1,024	>1,024	>1,024	>1,024	>1,024	10	512	2	64	0.016	8	0.0078	512	0.25	1	1	64	16	512	256	0.5	0.5	>1,024	>1,024	>1,024	>1,024	>1,024	12	>1,024	4	128	0.25	64	0.13	1,024	32	2	1	64	8	1	1	0.5	0.5	>1,024	>1,024	>1,024	>1,024	>1,024	13	>1,024	4	128	2	128	0.13	1,024	32	2	1	64	16	16	1	0.5	0.5	>1,024	>1,024	>1,024	>1,024	>1,024	16	>1,024	8	64	8	64	0.13	512	4	1	1	64	16	32	32	0.5	0.5	>1,024	>1,024	>1,024	>1,024	>1,024	17	>1,024	16	64	1	32	0.031	512	4	2	2	32	16	1	1	128	128	>1,024	>1,024	>1,024	>1,024	>1,024	18	>1,024	8	32	0.5	32	0.031	512	4	2	2	64	16	1	1	128	64	>1,024	>1,024	>1,024	>1,024	>1,024	19	>1,024	32	64	0.25	32	0.13	1,024	8	2	1	64	16	8	32	256	128	>1,024	0.25	>1,024	>1,024	>1,024	20	64	2	16	0.031	2	0.0039	32	0.25	1	1	64	16	32	32	256	256	0.25	0.25	>1,024	>1,024	>1,024	21	128	0.25	32	0.25	4	0.016	256	0.25	1	1	32	8	1	1	0.5	0.5	0.25	0.25	0.25	0.25	16	22	128	2	16	0.25	4	0.016	128	0.25	1	1	32	8	1	1	0.5	0.5	0.25	0.25	0.25	0.25	16	COL	>1,024	4	64	0.5	64	0.031	1,024	0.25	2	1	32	4	2	2	128	128	>1,024	0.13	>1,024	>1,024	512	N315	8	2	32	0.002	8	0.002	256	0.25	0.5	0.25	32	4	1	1	0.25	0.25	>1,024	>1,024	>1,024	>1,024	512	MSSA																						1003	2	0.25	0.25	0.063	0.063	0.016	2	0.25	1	0.5	32	8	1	1	0.25	0.25	0.13	0.13	0.13	0.13	16	1010	1	0.25	0.5	0.13	0.063	0.0078	2	0.25	1	1	32	16	1	2	0.5	0.5	0.25	0.25	0.25	0.25	8	1020	1	0.25	0.13	0.031	0.031	0.0039	0.25	0.25	1	0.5	32	16	1	1	0.5	0.5	0.13	0.13	0.13	0.13	16	1032	1	0.25	0.25	0.0039	0.063	0.0039	2	0.25	1	1	32	32	1	1	0.5	0.5	0.25	0.25	0.25	0.25	16	ATCC 6538	1	0.25	0.13	0.0039	0.031	0.002	0.25	0.25	1	1	32	16	1	1	0.5	0.5	0.25	0.25	0.13	0.13	16	RN4220	2	0.25	0.13	0.002	0.031	0.002	0.25	0.0078	1	0.25	32	4	1	1	0.5	0.5	0.25	0.25	0.25	0.25	8																																												
3	1,024	0.25	64	0.5	64	0.063	1,024	0.25	2	1	64	16	32	64	0.5	0.5	>1,024	>1,024	>1,024	>1,024	>1,024	4	>1,024	4	64	4	64	0.13	1,024	16	2	2	32	8	16	16	128	128	>1,024	>1,024	>1,024	>1,024	>1,024	5	>1,024	0.25	128	0.0039	64	0.0039	1,024	8	1	1	32	16	32	32	0.5	0.5	>1,024	>1,024	>1,024	>1,024	>1,024	6	1,024	8	64	0.25	64	0.031	1,024	0.25	2	0.5	64	16	64	32	0.5	0.5	>1,024	>1,024	>1,024	>1,024	>1,024	7	>1,024	4	64	8	128	0.063	1,024	8	2	1	64	16	32	32	0.5	0.5	>1,024	>1,024	>1,024	>1,024	>1,024	8	>1,024	4	64	8	64	0.13	1,024	16	2	1	64	16	32	32	0.5	0.5	>1,024	0.25	>1,024	>1,024	>1,024	9	>1,024	2	64	0.002	64	0.002	512	0.25	2	0.5	32	8	128	128	128	128	>1,024	>1,024	>1,024	>1,024	>1,024	10	512	2	64	0.016	8	0.0078	512	0.25	1	1	64	16	512	256	0.5	0.5	>1,024	>1,024	>1,024	>1,024	>1,024	12	>1,024	4	128	0.25	64	0.13	1,024	32	2	1	64	8	1	1	0.5	0.5	>1,024	>1,024	>1,024	>1,024	>1,024	13	>1,024	4	128	2	128	0.13	1,024	32	2	1	64	16	16	1	0.5	0.5	>1,024	>1,024	>1,024	>1,024	>1,024	16	>1,024	8	64	8	64	0.13	512	4	1	1	64	16	32	32	0.5	0.5	>1,024	>1,024	>1,024	>1,024	>1,024	17	>1,024	16	64	1	32	0.031	512	4	2	2	32	16	1	1	128	128	>1,024	>1,024	>1,024	>1,024	>1,024	18	>1,024	8	32	0.5	32	0.031	512	4	2	2	64	16	1	1	128	64	>1,024	>1,024	>1,024	>1,024	>1,024	19	>1,024	32	64	0.25	32	0.13	1,024	8	2	1	64	16	8	32	256	128	>1,024	0.25	>1,024	>1,024	>1,024	20	64	2	16	0.031	2	0.0039	32	0.25	1	1	64	16	32	32	256	256	0.25	0.25	>1,024	>1,024	>1,024	21	128	0.25	32	0.25	4	0.016	256	0.25	1	1	32	8	1	1	0.5	0.5	0.25	0.25	0.25	0.25	16	22	128	2	16	0.25	4	0.016	128	0.25	1	1	32	8	1	1	0.5	0.5	0.25	0.25	0.25	0.25	16	COL	>1,024	4	64	0.5	64	0.031	1,024	0.25	2	1	32	4	2	2	128	128	>1,024	0.13	>1,024	>1,024	512	N315	8	2	32	0.002	8	0.002	256	0.25	0.5	0.25	32	4	1	1	0.25	0.25	>1,024	>1,024	>1,024	>1,024	512	MSSA																						1003	2	0.25	0.25	0.063	0.063	0.016	2	0.25	1	0.5	32	8	1	1	0.25	0.25	0.13	0.13	0.13	0.13	16	1010	1	0.25	0.5	0.13	0.063	0.0078	2	0.25	1	1	32	16	1	2	0.5	0.5	0.25	0.25	0.25	0.25	8	1020	1	0.25	0.13	0.031	0.031	0.0039	0.25	0.25	1	0.5	32	16	1	1	0.5	0.5	0.13	0.13	0.13	0.13	16	1032	1	0.25	0.25	0.0039	0.063	0.0039	2	0.25	1	1	32	32	1	1	0.5	0.5	0.25	0.25	0.25	0.25	16	ATCC 6538	1	0.25	0.13	0.0039	0.031	0.002	0.25	0.25	1	1	32	16	1	1	0.5	0.5	0.25	0.25	0.13	0.13	16	RN4220	2	0.25	0.13	0.002	0.031	0.002	0.25	0.0078	1	0.25	32	4	1	1	0.5	0.5	0.25	0.25	0.25	0.25	8																																																																		
4	>1,024	4	64	4	64	0.13	1,024	16	2	2	32	8	16	16	128	128	>1,024	>1,024	>1,024	>1,024	>1,024	5	>1,024	0.25	128	0.0039	64	0.0039	1,024	8	1	1	32	16	32	32	0.5	0.5	>1,024	>1,024	>1,024	>1,024	>1,024	6	1,024	8	64	0.25	64	0.031	1,024	0.25	2	0.5	64	16	64	32	0.5	0.5	>1,024	>1,024	>1,024	>1,024	>1,024	7	>1,024	4	64	8	128	0.063	1,024	8	2	1	64	16	32	32	0.5	0.5	>1,024	>1,024	>1,024	>1,024	>1,024	8	>1,024	4	64	8	64	0.13	1,024	16	2	1	64	16	32	32	0.5	0.5	>1,024	0.25	>1,024	>1,024	>1,024	9	>1,024	2	64	0.002	64	0.002	512	0.25	2	0.5	32	8	128	128	128	128	>1,024	>1,024	>1,024	>1,024	>1,024	10	512	2	64	0.016	8	0.0078	512	0.25	1	1	64	16	512	256	0.5	0.5	>1,024	>1,024	>1,024	>1,024	>1,024	12	>1,024	4	128	0.25	64	0.13	1,024	32	2	1	64	8	1	1	0.5	0.5	>1,024	>1,024	>1,024	>1,024	>1,024	13	>1,024	4	128	2	128	0.13	1,024	32	2	1	64	16	16	1	0.5	0.5	>1,024	>1,024	>1,024	>1,024	>1,024	16	>1,024	8	64	8	64	0.13	512	4	1	1	64	16	32	32	0.5	0.5	>1,024	>1,024	>1,024	>1,024	>1,024	17	>1,024	16	64	1	32	0.031	512	4	2	2	32	16	1	1	128	128	>1,024	>1,024	>1,024	>1,024	>1,024	18	>1,024	8	32	0.5	32	0.031	512	4	2	2	64	16	1	1	128	64	>1,024	>1,024	>1,024	>1,024	>1,024	19	>1,024	32	64	0.25	32	0.13	1,024	8	2	1	64	16	8	32	256	128	>1,024	0.25	>1,024	>1,024	>1,024	20	64	2	16	0.031	2	0.0039	32	0.25	1	1	64	16	32	32	256	256	0.25	0.25	>1,024	>1,024	>1,024	21	128	0.25	32	0.25	4	0.016	256	0.25	1	1	32	8	1	1	0.5	0.5	0.25	0.25	0.25	0.25	16	22	128	2	16	0.25	4	0.016	128	0.25	1	1	32	8	1	1	0.5	0.5	0.25	0.25	0.25	0.25	16	COL	>1,024	4	64	0.5	64	0.031	1,024	0.25	2	1	32	4	2	2	128	128	>1,024	0.13	>1,024	>1,024	512	N315	8	2	32	0.002	8	0.002	256	0.25	0.5	0.25	32	4	1	1	0.25	0.25	>1,024	>1,024	>1,024	>1,024	512	MSSA																						1003	2	0.25	0.25	0.063	0.063	0.016	2	0.25	1	0.5	32	8	1	1	0.25	0.25	0.13	0.13	0.13	0.13	16	1010	1	0.25	0.5	0.13	0.063	0.0078	2	0.25	1	1	32	16	1	2	0.5	0.5	0.25	0.25	0.25	0.25	8	1020	1	0.25	0.13	0.031	0.031	0.0039	0.25	0.25	1	0.5	32	16	1	1	0.5	0.5	0.13	0.13	0.13	0.13	16	1032	1	0.25	0.25	0.0039	0.063	0.0039	2	0.25	1	1	32	32	1	1	0.5	0.5	0.25	0.25	0.25	0.25	16	ATCC 6538	1	0.25	0.13	0.0039	0.031	0.002	0.25	0.25	1	1	32	16	1	1	0.5	0.5	0.25	0.25	0.13	0.13	16	RN4220	2	0.25	0.13	0.002	0.031	0.002	0.25	0.0078	1	0.25	32	4	1	1	0.5	0.5	0.25	0.25	0.25	0.25	8																																																																																								
5	>1,024	0.25	128	0.0039	64	0.0039	1,024	8	1	1	32	16	32	32	0.5	0.5	>1,024	>1,024	>1,024	>1,024	>1,024	6	1,024	8	64	0.25	64	0.031	1,024	0.25	2	0.5	64	16	64	32	0.5	0.5	>1,024	>1,024	>1,024	>1,024	>1,024	7	>1,024	4	64	8	128	0.063	1,024	8	2	1	64	16	32	32	0.5	0.5	>1,024	>1,024	>1,024	>1,024	>1,024	8	>1,024	4	64	8	64	0.13	1,024	16	2	1	64	16	32	32	0.5	0.5	>1,024	0.25	>1,024	>1,024	>1,024	9	>1,024	2	64	0.002	64	0.002	512	0.25	2	0.5	32	8	128	128	128	128	>1,024	>1,024	>1,024	>1,024	>1,024	10	512	2	64	0.016	8	0.0078	512	0.25	1	1	64	16	512	256	0.5	0.5	>1,024	>1,024	>1,024	>1,024	>1,024	12	>1,024	4	128	0.25	64	0.13	1,024	32	2	1	64	8	1	1	0.5	0.5	>1,024	>1,024	>1,024	>1,024	>1,024	13	>1,024	4	128	2	128	0.13	1,024	32	2	1	64	16	16	1	0.5	0.5	>1,024	>1,024	>1,024	>1,024	>1,024	16	>1,024	8	64	8	64	0.13	512	4	1	1	64	16	32	32	0.5	0.5	>1,024	>1,024	>1,024	>1,024	>1,024	17	>1,024	16	64	1	32	0.031	512	4	2	2	32	16	1	1	128	128	>1,024	>1,024	>1,024	>1,024	>1,024	18	>1,024	8	32	0.5	32	0.031	512	4	2	2	64	16	1	1	128	64	>1,024	>1,024	>1,024	>1,024	>1,024	19	>1,024	32	64	0.25	32	0.13	1,024	8	2	1	64	16	8	32	256	128	>1,024	0.25	>1,024	>1,024	>1,024	20	64	2	16	0.031	2	0.0039	32	0.25	1	1	64	16	32	32	256	256	0.25	0.25	>1,024	>1,024	>1,024	21	128	0.25	32	0.25	4	0.016	256	0.25	1	1	32	8	1	1	0.5	0.5	0.25	0.25	0.25	0.25	16	22	128	2	16	0.25	4	0.016	128	0.25	1	1	32	8	1	1	0.5	0.5	0.25	0.25	0.25	0.25	16	COL	>1,024	4	64	0.5	64	0.031	1,024	0.25	2	1	32	4	2	2	128	128	>1,024	0.13	>1,024	>1,024	512	N315	8	2	32	0.002	8	0.002	256	0.25	0.5	0.25	32	4	1	1	0.25	0.25	>1,024	>1,024	>1,024	>1,024	512	MSSA																						1003	2	0.25	0.25	0.063	0.063	0.016	2	0.25	1	0.5	32	8	1	1	0.25	0.25	0.13	0.13	0.13	0.13	16	1010	1	0.25	0.5	0.13	0.063	0.0078	2	0.25	1	1	32	16	1	2	0.5	0.5	0.25	0.25	0.25	0.25	8	1020	1	0.25	0.13	0.031	0.031	0.0039	0.25	0.25	1	0.5	32	16	1	1	0.5	0.5	0.13	0.13	0.13	0.13	16	1032	1	0.25	0.25	0.0039	0.063	0.0039	2	0.25	1	1	32	32	1	1	0.5	0.5	0.25	0.25	0.25	0.25	16	ATCC 6538	1	0.25	0.13	0.0039	0.031	0.002	0.25	0.25	1	1	32	16	1	1	0.5	0.5	0.25	0.25	0.13	0.13	16	RN4220	2	0.25	0.13	0.002	0.031	0.002	0.25	0.0078	1	0.25	32	4	1	1	0.5	0.5	0.25	0.25	0.25	0.25	8																																																																																																														
6	1,024	8	64	0.25	64	0.031	1,024	0.25	2	0.5	64	16	64	32	0.5	0.5	>1,024	>1,024	>1,024	>1,024	>1,024	7	>1,024	4	64	8	128	0.063	1,024	8	2	1	64	16	32	32	0.5	0.5	>1,024	>1,024	>1,024	>1,024	>1,024	8	>1,024	4	64	8	64	0.13	1,024	16	2	1	64	16	32	32	0.5	0.5	>1,024	0.25	>1,024	>1,024	>1,024	9	>1,024	2	64	0.002	64	0.002	512	0.25	2	0.5	32	8	128	128	128	128	>1,024	>1,024	>1,024	>1,024	>1,024	10	512	2	64	0.016	8	0.0078	512	0.25	1	1	64	16	512	256	0.5	0.5	>1,024	>1,024	>1,024	>1,024	>1,024	12	>1,024	4	128	0.25	64	0.13	1,024	32	2	1	64	8	1	1	0.5	0.5	>1,024	>1,024	>1,024	>1,024	>1,024	13	>1,024	4	128	2	128	0.13	1,024	32	2	1	64	16	16	1	0.5	0.5	>1,024	>1,024	>1,024	>1,024	>1,024	16	>1,024	8	64	8	64	0.13	512	4	1	1	64	16	32	32	0.5	0.5	>1,024	>1,024	>1,024	>1,024	>1,024	17	>1,024	16	64	1	32	0.031	512	4	2	2	32	16	1	1	128	128	>1,024	>1,024	>1,024	>1,024	>1,024	18	>1,024	8	32	0.5	32	0.031	512	4	2	2	64	16	1	1	128	64	>1,024	>1,024	>1,024	>1,024	>1,024	19	>1,024	32	64	0.25	32	0.13	1,024	8	2	1	64	16	8	32	256	128	>1,024	0.25	>1,024	>1,024	>1,024	20	64	2	16	0.031	2	0.0039	32	0.25	1	1	64	16	32	32	256	256	0.25	0.25	>1,024	>1,024	>1,024	21	128	0.25	32	0.25	4	0.016	256	0.25	1	1	32	8	1	1	0.5	0.5	0.25	0.25	0.25	0.25	16	22	128	2	16	0.25	4	0.016	128	0.25	1	1	32	8	1	1	0.5	0.5	0.25	0.25	0.25	0.25	16	COL	>1,024	4	64	0.5	64	0.031	1,024	0.25	2	1	32	4	2	2	128	128	>1,024	0.13	>1,024	>1,024	512	N315	8	2	32	0.002	8	0.002	256	0.25	0.5	0.25	32	4	1	1	0.25	0.25	>1,024	>1,024	>1,024	>1,024	512	MSSA																						1003	2	0.25	0.25	0.063	0.063	0.016	2	0.25	1	0.5	32	8	1	1	0.25	0.25	0.13	0.13	0.13	0.13	16	1010	1	0.25	0.5	0.13	0.063	0.0078	2	0.25	1	1	32	16	1	2	0.5	0.5	0.25	0.25	0.25	0.25	8	1020	1	0.25	0.13	0.031	0.031	0.0039	0.25	0.25	1	0.5	32	16	1	1	0.5	0.5	0.13	0.13	0.13	0.13	16	1032	1	0.25	0.25	0.0039	0.063	0.0039	2	0.25	1	1	32	32	1	1	0.5	0.5	0.25	0.25	0.25	0.25	16	ATCC 6538	1	0.25	0.13	0.0039	0.031	0.002	0.25	0.25	1	1	32	16	1	1	0.5	0.5	0.25	0.25	0.13	0.13	16	RN4220	2	0.25	0.13	0.002	0.031	0.002	0.25	0.0078	1	0.25	32	4	1	1	0.5	0.5	0.25	0.25	0.25	0.25	8																																																																																																																																				
7	>1,024	4	64	8	128	0.063	1,024	8	2	1	64	16	32	32	0.5	0.5	>1,024	>1,024	>1,024	>1,024	>1,024	8	>1,024	4	64	8	64	0.13	1,024	16	2	1	64	16	32	32	0.5	0.5	>1,024	0.25	>1,024	>1,024	>1,024	9	>1,024	2	64	0.002	64	0.002	512	0.25	2	0.5	32	8	128	128	128	128	>1,024	>1,024	>1,024	>1,024	>1,024	10	512	2	64	0.016	8	0.0078	512	0.25	1	1	64	16	512	256	0.5	0.5	>1,024	>1,024	>1,024	>1,024	>1,024	12	>1,024	4	128	0.25	64	0.13	1,024	32	2	1	64	8	1	1	0.5	0.5	>1,024	>1,024	>1,024	>1,024	>1,024	13	>1,024	4	128	2	128	0.13	1,024	32	2	1	64	16	16	1	0.5	0.5	>1,024	>1,024	>1,024	>1,024	>1,024	16	>1,024	8	64	8	64	0.13	512	4	1	1	64	16	32	32	0.5	0.5	>1,024	>1,024	>1,024	>1,024	>1,024	17	>1,024	16	64	1	32	0.031	512	4	2	2	32	16	1	1	128	128	>1,024	>1,024	>1,024	>1,024	>1,024	18	>1,024	8	32	0.5	32	0.031	512	4	2	2	64	16	1	1	128	64	>1,024	>1,024	>1,024	>1,024	>1,024	19	>1,024	32	64	0.25	32	0.13	1,024	8	2	1	64	16	8	32	256	128	>1,024	0.25	>1,024	>1,024	>1,024	20	64	2	16	0.031	2	0.0039	32	0.25	1	1	64	16	32	32	256	256	0.25	0.25	>1,024	>1,024	>1,024	21	128	0.25	32	0.25	4	0.016	256	0.25	1	1	32	8	1	1	0.5	0.5	0.25	0.25	0.25	0.25	16	22	128	2	16	0.25	4	0.016	128	0.25	1	1	32	8	1	1	0.5	0.5	0.25	0.25	0.25	0.25	16	COL	>1,024	4	64	0.5	64	0.031	1,024	0.25	2	1	32	4	2	2	128	128	>1,024	0.13	>1,024	>1,024	512	N315	8	2	32	0.002	8	0.002	256	0.25	0.5	0.25	32	4	1	1	0.25	0.25	>1,024	>1,024	>1,024	>1,024	512	MSSA																						1003	2	0.25	0.25	0.063	0.063	0.016	2	0.25	1	0.5	32	8	1	1	0.25	0.25	0.13	0.13	0.13	0.13	16	1010	1	0.25	0.5	0.13	0.063	0.0078	2	0.25	1	1	32	16	1	2	0.5	0.5	0.25	0.25	0.25	0.25	8	1020	1	0.25	0.13	0.031	0.031	0.0039	0.25	0.25	1	0.5	32	16	1	1	0.5	0.5	0.13	0.13	0.13	0.13	16	1032	1	0.25	0.25	0.0039	0.063	0.0039	2	0.25	1	1	32	32	1	1	0.5	0.5	0.25	0.25	0.25	0.25	16	ATCC 6538	1	0.25	0.13	0.0039	0.031	0.002	0.25	0.25	1	1	32	16	1	1	0.5	0.5	0.25	0.25	0.13	0.13	16	RN4220	2	0.25	0.13	0.002	0.031	0.002	0.25	0.0078	1	0.25	32	4	1	1	0.5	0.5	0.25	0.25	0.25	0.25	8																																																																																																																																																										
8	>1,024	4	64	8	64	0.13	1,024	16	2	1	64	16	32	32	0.5	0.5	>1,024	0.25	>1,024	>1,024	>1,024	9	>1,024	2	64	0.002	64	0.002	512	0.25	2	0.5	32	8	128	128	128	128	>1,024	>1,024	>1,024	>1,024	>1,024	10	512	2	64	0.016	8	0.0078	512	0.25	1	1	64	16	512	256	0.5	0.5	>1,024	>1,024	>1,024	>1,024	>1,024	12	>1,024	4	128	0.25	64	0.13	1,024	32	2	1	64	8	1	1	0.5	0.5	>1,024	>1,024	>1,024	>1,024	>1,024	13	>1,024	4	128	2	128	0.13	1,024	32	2	1	64	16	16	1	0.5	0.5	>1,024	>1,024	>1,024	>1,024	>1,024	16	>1,024	8	64	8	64	0.13	512	4	1	1	64	16	32	32	0.5	0.5	>1,024	>1,024	>1,024	>1,024	>1,024	17	>1,024	16	64	1	32	0.031	512	4	2	2	32	16	1	1	128	128	>1,024	>1,024	>1,024	>1,024	>1,024	18	>1,024	8	32	0.5	32	0.031	512	4	2	2	64	16	1	1	128	64	>1,024	>1,024	>1,024	>1,024	>1,024	19	>1,024	32	64	0.25	32	0.13	1,024	8	2	1	64	16	8	32	256	128	>1,024	0.25	>1,024	>1,024	>1,024	20	64	2	16	0.031	2	0.0039	32	0.25	1	1	64	16	32	32	256	256	0.25	0.25	>1,024	>1,024	>1,024	21	128	0.25	32	0.25	4	0.016	256	0.25	1	1	32	8	1	1	0.5	0.5	0.25	0.25	0.25	0.25	16	22	128	2	16	0.25	4	0.016	128	0.25	1	1	32	8	1	1	0.5	0.5	0.25	0.25	0.25	0.25	16	COL	>1,024	4	64	0.5	64	0.031	1,024	0.25	2	1	32	4	2	2	128	128	>1,024	0.13	>1,024	>1,024	512	N315	8	2	32	0.002	8	0.002	256	0.25	0.5	0.25	32	4	1	1	0.25	0.25	>1,024	>1,024	>1,024	>1,024	512	MSSA																						1003	2	0.25	0.25	0.063	0.063	0.016	2	0.25	1	0.5	32	8	1	1	0.25	0.25	0.13	0.13	0.13	0.13	16	1010	1	0.25	0.5	0.13	0.063	0.0078	2	0.25	1	1	32	16	1	2	0.5	0.5	0.25	0.25	0.25	0.25	8	1020	1	0.25	0.13	0.031	0.031	0.0039	0.25	0.25	1	0.5	32	16	1	1	0.5	0.5	0.13	0.13	0.13	0.13	16	1032	1	0.25	0.25	0.0039	0.063	0.0039	2	0.25	1	1	32	32	1	1	0.5	0.5	0.25	0.25	0.25	0.25	16	ATCC 6538	1	0.25	0.13	0.0039	0.031	0.002	0.25	0.25	1	1	32	16	1	1	0.5	0.5	0.25	0.25	0.13	0.13	16	RN4220	2	0.25	0.13	0.002	0.031	0.002	0.25	0.0078	1	0.25	32	4	1	1	0.5	0.5	0.25	0.25	0.25	0.25	8																																																																																																																																																																																
9	>1,024	2	64	0.002	64	0.002	512	0.25	2	0.5	32	8	128	128	128	128	>1,024	>1,024	>1,024	>1,024	>1,024	10	512	2	64	0.016	8	0.0078	512	0.25	1	1	64	16	512	256	0.5	0.5	>1,024	>1,024	>1,024	>1,024	>1,024	12	>1,024	4	128	0.25	64	0.13	1,024	32	2	1	64	8	1	1	0.5	0.5	>1,024	>1,024	>1,024	>1,024	>1,024	13	>1,024	4	128	2	128	0.13	1,024	32	2	1	64	16	16	1	0.5	0.5	>1,024	>1,024	>1,024	>1,024	>1,024	16	>1,024	8	64	8	64	0.13	512	4	1	1	64	16	32	32	0.5	0.5	>1,024	>1,024	>1,024	>1,024	>1,024	17	>1,024	16	64	1	32	0.031	512	4	2	2	32	16	1	1	128	128	>1,024	>1,024	>1,024	>1,024	>1,024	18	>1,024	8	32	0.5	32	0.031	512	4	2	2	64	16	1	1	128	64	>1,024	>1,024	>1,024	>1,024	>1,024	19	>1,024	32	64	0.25	32	0.13	1,024	8	2	1	64	16	8	32	256	128	>1,024	0.25	>1,024	>1,024	>1,024	20	64	2	16	0.031	2	0.0039	32	0.25	1	1	64	16	32	32	256	256	0.25	0.25	>1,024	>1,024	>1,024	21	128	0.25	32	0.25	4	0.016	256	0.25	1	1	32	8	1	1	0.5	0.5	0.25	0.25	0.25	0.25	16	22	128	2	16	0.25	4	0.016	128	0.25	1	1	32	8	1	1	0.5	0.5	0.25	0.25	0.25	0.25	16	COL	>1,024	4	64	0.5	64	0.031	1,024	0.25	2	1	32	4	2	2	128	128	>1,024	0.13	>1,024	>1,024	512	N315	8	2	32	0.002	8	0.002	256	0.25	0.5	0.25	32	4	1	1	0.25	0.25	>1,024	>1,024	>1,024	>1,024	512	MSSA																						1003	2	0.25	0.25	0.063	0.063	0.016	2	0.25	1	0.5	32	8	1	1	0.25	0.25	0.13	0.13	0.13	0.13	16	1010	1	0.25	0.5	0.13	0.063	0.0078	2	0.25	1	1	32	16	1	2	0.5	0.5	0.25	0.25	0.25	0.25	8	1020	1	0.25	0.13	0.031	0.031	0.0039	0.25	0.25	1	0.5	32	16	1	1	0.5	0.5	0.13	0.13	0.13	0.13	16	1032	1	0.25	0.25	0.0039	0.063	0.0039	2	0.25	1	1	32	32	1	1	0.5	0.5	0.25	0.25	0.25	0.25	16	ATCC 6538	1	0.25	0.13	0.0039	0.031	0.002	0.25	0.25	1	1	32	16	1	1	0.5	0.5	0.25	0.25	0.13	0.13	16	RN4220	2	0.25	0.13	0.002	0.031	0.002	0.25	0.0078	1	0.25	32	4	1	1	0.5	0.5	0.25	0.25	0.25	0.25	8																																																																																																																																																																																																						
10	512	2	64	0.016	8	0.0078	512	0.25	1	1	64	16	512	256	0.5	0.5	>1,024	>1,024	>1,024	>1,024	>1,024	12	>1,024	4	128	0.25	64	0.13	1,024	32	2	1	64	8	1	1	0.5	0.5	>1,024	>1,024	>1,024	>1,024	>1,024	13	>1,024	4	128	2	128	0.13	1,024	32	2	1	64	16	16	1	0.5	0.5	>1,024	>1,024	>1,024	>1,024	>1,024	16	>1,024	8	64	8	64	0.13	512	4	1	1	64	16	32	32	0.5	0.5	>1,024	>1,024	>1,024	>1,024	>1,024	17	>1,024	16	64	1	32	0.031	512	4	2	2	32	16	1	1	128	128	>1,024	>1,024	>1,024	>1,024	>1,024	18	>1,024	8	32	0.5	32	0.031	512	4	2	2	64	16	1	1	128	64	>1,024	>1,024	>1,024	>1,024	>1,024	19	>1,024	32	64	0.25	32	0.13	1,024	8	2	1	64	16	8	32	256	128	>1,024	0.25	>1,024	>1,024	>1,024	20	64	2	16	0.031	2	0.0039	32	0.25	1	1	64	16	32	32	256	256	0.25	0.25	>1,024	>1,024	>1,024	21	128	0.25	32	0.25	4	0.016	256	0.25	1	1	32	8	1	1	0.5	0.5	0.25	0.25	0.25	0.25	16	22	128	2	16	0.25	4	0.016	128	0.25	1	1	32	8	1	1	0.5	0.5	0.25	0.25	0.25	0.25	16	COL	>1,024	4	64	0.5	64	0.031	1,024	0.25	2	1	32	4	2	2	128	128	>1,024	0.13	>1,024	>1,024	512	N315	8	2	32	0.002	8	0.002	256	0.25	0.5	0.25	32	4	1	1	0.25	0.25	>1,024	>1,024	>1,024	>1,024	512	MSSA																						1003	2	0.25	0.25	0.063	0.063	0.016	2	0.25	1	0.5	32	8	1	1	0.25	0.25	0.13	0.13	0.13	0.13	16	1010	1	0.25	0.5	0.13	0.063	0.0078	2	0.25	1	1	32	16	1	2	0.5	0.5	0.25	0.25	0.25	0.25	8	1020	1	0.25	0.13	0.031	0.031	0.0039	0.25	0.25	1	0.5	32	16	1	1	0.5	0.5	0.13	0.13	0.13	0.13	16	1032	1	0.25	0.25	0.0039	0.063	0.0039	2	0.25	1	1	32	32	1	1	0.5	0.5	0.25	0.25	0.25	0.25	16	ATCC 6538	1	0.25	0.13	0.0039	0.031	0.002	0.25	0.25	1	1	32	16	1	1	0.5	0.5	0.25	0.25	0.13	0.13	16	RN4220	2	0.25	0.13	0.002	0.031	0.002	0.25	0.0078	1	0.25	32	4	1	1	0.5	0.5	0.25	0.25	0.25	0.25	8																																																																																																																																																																																																																												
12	>1,024	4	128	0.25	64	0.13	1,024	32	2	1	64	8	1	1	0.5	0.5	>1,024	>1,024	>1,024	>1,024	>1,024	13	>1,024	4	128	2	128	0.13	1,024	32	2	1	64	16	16	1	0.5	0.5	>1,024	>1,024	>1,024	>1,024	>1,024	16	>1,024	8	64	8	64	0.13	512	4	1	1	64	16	32	32	0.5	0.5	>1,024	>1,024	>1,024	>1,024	>1,024	17	>1,024	16	64	1	32	0.031	512	4	2	2	32	16	1	1	128	128	>1,024	>1,024	>1,024	>1,024	>1,024	18	>1,024	8	32	0.5	32	0.031	512	4	2	2	64	16	1	1	128	64	>1,024	>1,024	>1,024	>1,024	>1,024	19	>1,024	32	64	0.25	32	0.13	1,024	8	2	1	64	16	8	32	256	128	>1,024	0.25	>1,024	>1,024	>1,024	20	64	2	16	0.031	2	0.0039	32	0.25	1	1	64	16	32	32	256	256	0.25	0.25	>1,024	>1,024	>1,024	21	128	0.25	32	0.25	4	0.016	256	0.25	1	1	32	8	1	1	0.5	0.5	0.25	0.25	0.25	0.25	16	22	128	2	16	0.25	4	0.016	128	0.25	1	1	32	8	1	1	0.5	0.5	0.25	0.25	0.25	0.25	16	COL	>1,024	4	64	0.5	64	0.031	1,024	0.25	2	1	32	4	2	2	128	128	>1,024	0.13	>1,024	>1,024	512	N315	8	2	32	0.002	8	0.002	256	0.25	0.5	0.25	32	4	1	1	0.25	0.25	>1,024	>1,024	>1,024	>1,024	512	MSSA																						1003	2	0.25	0.25	0.063	0.063	0.016	2	0.25	1	0.5	32	8	1	1	0.25	0.25	0.13	0.13	0.13	0.13	16	1010	1	0.25	0.5	0.13	0.063	0.0078	2	0.25	1	1	32	16	1	2	0.5	0.5	0.25	0.25	0.25	0.25	8	1020	1	0.25	0.13	0.031	0.031	0.0039	0.25	0.25	1	0.5	32	16	1	1	0.5	0.5	0.13	0.13	0.13	0.13	16	1032	1	0.25	0.25	0.0039	0.063	0.0039	2	0.25	1	1	32	32	1	1	0.5	0.5	0.25	0.25	0.25	0.25	16	ATCC 6538	1	0.25	0.13	0.0039	0.031	0.002	0.25	0.25	1	1	32	16	1	1	0.5	0.5	0.25	0.25	0.13	0.13	16	RN4220	2	0.25	0.13	0.002	0.031	0.002	0.25	0.0078	1	0.25	32	4	1	1	0.5	0.5	0.25	0.25	0.25	0.25	8																																																																																																																																																																																																																																																		
13	>1,024	4	128	2	128	0.13	1,024	32	2	1	64	16	16	1	0.5	0.5	>1,024	>1,024	>1,024	>1,024	>1,024	16	>1,024	8	64	8	64	0.13	512	4	1	1	64	16	32	32	0.5	0.5	>1,024	>1,024	>1,024	>1,024	>1,024	17	>1,024	16	64	1	32	0.031	512	4	2	2	32	16	1	1	128	128	>1,024	>1,024	>1,024	>1,024	>1,024	18	>1,024	8	32	0.5	32	0.031	512	4	2	2	64	16	1	1	128	64	>1,024	>1,024	>1,024	>1,024	>1,024	19	>1,024	32	64	0.25	32	0.13	1,024	8	2	1	64	16	8	32	256	128	>1,024	0.25	>1,024	>1,024	>1,024	20	64	2	16	0.031	2	0.0039	32	0.25	1	1	64	16	32	32	256	256	0.25	0.25	>1,024	>1,024	>1,024	21	128	0.25	32	0.25	4	0.016	256	0.25	1	1	32	8	1	1	0.5	0.5	0.25	0.25	0.25	0.25	16	22	128	2	16	0.25	4	0.016	128	0.25	1	1	32	8	1	1	0.5	0.5	0.25	0.25	0.25	0.25	16	COL	>1,024	4	64	0.5	64	0.031	1,024	0.25	2	1	32	4	2	2	128	128	>1,024	0.13	>1,024	>1,024	512	N315	8	2	32	0.002	8	0.002	256	0.25	0.5	0.25	32	4	1	1	0.25	0.25	>1,024	>1,024	>1,024	>1,024	512	MSSA																						1003	2	0.25	0.25	0.063	0.063	0.016	2	0.25	1	0.5	32	8	1	1	0.25	0.25	0.13	0.13	0.13	0.13	16	1010	1	0.25	0.5	0.13	0.063	0.0078	2	0.25	1	1	32	16	1	2	0.5	0.5	0.25	0.25	0.25	0.25	8	1020	1	0.25	0.13	0.031	0.031	0.0039	0.25	0.25	1	0.5	32	16	1	1	0.5	0.5	0.13	0.13	0.13	0.13	16	1032	1	0.25	0.25	0.0039	0.063	0.0039	2	0.25	1	1	32	32	1	1	0.5	0.5	0.25	0.25	0.25	0.25	16	ATCC 6538	1	0.25	0.13	0.0039	0.031	0.002	0.25	0.25	1	1	32	16	1	1	0.5	0.5	0.25	0.25	0.13	0.13	16	RN4220	2	0.25	0.13	0.002	0.031	0.002	0.25	0.0078	1	0.25	32	4	1	1	0.5	0.5	0.25	0.25	0.25	0.25	8																																																																																																																																																																																																																																																																								
16	>1,024	8	64	8	64	0.13	512	4	1	1	64	16	32	32	0.5	0.5	>1,024	>1,024	>1,024	>1,024	>1,024	17	>1,024	16	64	1	32	0.031	512	4	2	2	32	16	1	1	128	128	>1,024	>1,024	>1,024	>1,024	>1,024	18	>1,024	8	32	0.5	32	0.031	512	4	2	2	64	16	1	1	128	64	>1,024	>1,024	>1,024	>1,024	>1,024	19	>1,024	32	64	0.25	32	0.13	1,024	8	2	1	64	16	8	32	256	128	>1,024	0.25	>1,024	>1,024	>1,024	20	64	2	16	0.031	2	0.0039	32	0.25	1	1	64	16	32	32	256	256	0.25	0.25	>1,024	>1,024	>1,024	21	128	0.25	32	0.25	4	0.016	256	0.25	1	1	32	8	1	1	0.5	0.5	0.25	0.25	0.25	0.25	16	22	128	2	16	0.25	4	0.016	128	0.25	1	1	32	8	1	1	0.5	0.5	0.25	0.25	0.25	0.25	16	COL	>1,024	4	64	0.5	64	0.031	1,024	0.25	2	1	32	4	2	2	128	128	>1,024	0.13	>1,024	>1,024	512	N315	8	2	32	0.002	8	0.002	256	0.25	0.5	0.25	32	4	1	1	0.25	0.25	>1,024	>1,024	>1,024	>1,024	512	MSSA																						1003	2	0.25	0.25	0.063	0.063	0.016	2	0.25	1	0.5	32	8	1	1	0.25	0.25	0.13	0.13	0.13	0.13	16	1010	1	0.25	0.5	0.13	0.063	0.0078	2	0.25	1	1	32	16	1	2	0.5	0.5	0.25	0.25	0.25	0.25	8	1020	1	0.25	0.13	0.031	0.031	0.0039	0.25	0.25	1	0.5	32	16	1	1	0.5	0.5	0.13	0.13	0.13	0.13	16	1032	1	0.25	0.25	0.0039	0.063	0.0039	2	0.25	1	1	32	32	1	1	0.5	0.5	0.25	0.25	0.25	0.25	16	ATCC 6538	1	0.25	0.13	0.0039	0.031	0.002	0.25	0.25	1	1	32	16	1	1	0.5	0.5	0.25	0.25	0.13	0.13	16	RN4220	2	0.25	0.13	0.002	0.031	0.002	0.25	0.0078	1	0.25	32	4	1	1	0.5	0.5	0.25	0.25	0.25	0.25	8																																																																																																																																																																																																																																																																																														
17	>1,024	16	64	1	32	0.031	512	4	2	2	32	16	1	1	128	128	>1,024	>1,024	>1,024	>1,024	>1,024	18	>1,024	8	32	0.5	32	0.031	512	4	2	2	64	16	1	1	128	64	>1,024	>1,024	>1,024	>1,024	>1,024	19	>1,024	32	64	0.25	32	0.13	1,024	8	2	1	64	16	8	32	256	128	>1,024	0.25	>1,024	>1,024	>1,024	20	64	2	16	0.031	2	0.0039	32	0.25	1	1	64	16	32	32	256	256	0.25	0.25	>1,024	>1,024	>1,024	21	128	0.25	32	0.25	4	0.016	256	0.25	1	1	32	8	1	1	0.5	0.5	0.25	0.25	0.25	0.25	16	22	128	2	16	0.25	4	0.016	128	0.25	1	1	32	8	1	1	0.5	0.5	0.25	0.25	0.25	0.25	16	COL	>1,024	4	64	0.5	64	0.031	1,024	0.25	2	1	32	4	2	2	128	128	>1,024	0.13	>1,024	>1,024	512	N315	8	2	32	0.002	8	0.002	256	0.25	0.5	0.25	32	4	1	1	0.25	0.25	>1,024	>1,024	>1,024	>1,024	512	MSSA																						1003	2	0.25	0.25	0.063	0.063	0.016	2	0.25	1	0.5	32	8	1	1	0.25	0.25	0.13	0.13	0.13	0.13	16	1010	1	0.25	0.5	0.13	0.063	0.0078	2	0.25	1	1	32	16	1	2	0.5	0.5	0.25	0.25	0.25	0.25	8	1020	1	0.25	0.13	0.031	0.031	0.0039	0.25	0.25	1	0.5	32	16	1	1	0.5	0.5	0.13	0.13	0.13	0.13	16	1032	1	0.25	0.25	0.0039	0.063	0.0039	2	0.25	1	1	32	32	1	1	0.5	0.5	0.25	0.25	0.25	0.25	16	ATCC 6538	1	0.25	0.13	0.0039	0.031	0.002	0.25	0.25	1	1	32	16	1	1	0.5	0.5	0.25	0.25	0.13	0.13	16	RN4220	2	0.25	0.13	0.002	0.031	0.002	0.25	0.0078	1	0.25	32	4	1	1	0.5	0.5	0.25	0.25	0.25	0.25	8																																																																																																																																																																																																																																																																																																																				
18	>1,024	8	32	0.5	32	0.031	512	4	2	2	64	16	1	1	128	64	>1,024	>1,024	>1,024	>1,024	>1,024	19	>1,024	32	64	0.25	32	0.13	1,024	8	2	1	64	16	8	32	256	128	>1,024	0.25	>1,024	>1,024	>1,024	20	64	2	16	0.031	2	0.0039	32	0.25	1	1	64	16	32	32	256	256	0.25	0.25	>1,024	>1,024	>1,024	21	128	0.25	32	0.25	4	0.016	256	0.25	1	1	32	8	1	1	0.5	0.5	0.25	0.25	0.25	0.25	16	22	128	2	16	0.25	4	0.016	128	0.25	1	1	32	8	1	1	0.5	0.5	0.25	0.25	0.25	0.25	16	COL	>1,024	4	64	0.5	64	0.031	1,024	0.25	2	1	32	4	2	2	128	128	>1,024	0.13	>1,024	>1,024	512	N315	8	2	32	0.002	8	0.002	256	0.25	0.5	0.25	32	4	1	1	0.25	0.25	>1,024	>1,024	>1,024	>1,024	512	MSSA																						1003	2	0.25	0.25	0.063	0.063	0.016	2	0.25	1	0.5	32	8	1	1	0.25	0.25	0.13	0.13	0.13	0.13	16	1010	1	0.25	0.5	0.13	0.063	0.0078	2	0.25	1	1	32	16	1	2	0.5	0.5	0.25	0.25	0.25	0.25	8	1020	1	0.25	0.13	0.031	0.031	0.0039	0.25	0.25	1	0.5	32	16	1	1	0.5	0.5	0.13	0.13	0.13	0.13	16	1032	1	0.25	0.25	0.0039	0.063	0.0039	2	0.25	1	1	32	32	1	1	0.5	0.5	0.25	0.25	0.25	0.25	16	ATCC 6538	1	0.25	0.13	0.0039	0.031	0.002	0.25	0.25	1	1	32	16	1	1	0.5	0.5	0.25	0.25	0.13	0.13	16	RN4220	2	0.25	0.13	0.002	0.031	0.002	0.25	0.0078	1	0.25	32	4	1	1	0.5	0.5	0.25	0.25	0.25	0.25	8																																																																																																																																																																																																																																																																																																																																										
19	>1,024	32	64	0.25	32	0.13	1,024	8	2	1	64	16	8	32	256	128	>1,024	0.25	>1,024	>1,024	>1,024	20	64	2	16	0.031	2	0.0039	32	0.25	1	1	64	16	32	32	256	256	0.25	0.25	>1,024	>1,024	>1,024	21	128	0.25	32	0.25	4	0.016	256	0.25	1	1	32	8	1	1	0.5	0.5	0.25	0.25	0.25	0.25	16	22	128	2	16	0.25	4	0.016	128	0.25	1	1	32	8	1	1	0.5	0.5	0.25	0.25	0.25	0.25	16	COL	>1,024	4	64	0.5	64	0.031	1,024	0.25	2	1	32	4	2	2	128	128	>1,024	0.13	>1,024	>1,024	512	N315	8	2	32	0.002	8	0.002	256	0.25	0.5	0.25	32	4	1	1	0.25	0.25	>1,024	>1,024	>1,024	>1,024	512	MSSA																						1003	2	0.25	0.25	0.063	0.063	0.016	2	0.25	1	0.5	32	8	1	1	0.25	0.25	0.13	0.13	0.13	0.13	16	1010	1	0.25	0.5	0.13	0.063	0.0078	2	0.25	1	1	32	16	1	2	0.5	0.5	0.25	0.25	0.25	0.25	8	1020	1	0.25	0.13	0.031	0.031	0.0039	0.25	0.25	1	0.5	32	16	1	1	0.5	0.5	0.13	0.13	0.13	0.13	16	1032	1	0.25	0.25	0.0039	0.063	0.0039	2	0.25	1	1	32	32	1	1	0.5	0.5	0.25	0.25	0.25	0.25	16	ATCC 6538	1	0.25	0.13	0.0039	0.031	0.002	0.25	0.25	1	1	32	16	1	1	0.5	0.5	0.25	0.25	0.13	0.13	16	RN4220	2	0.25	0.13	0.002	0.031	0.002	0.25	0.0078	1	0.25	32	4	1	1	0.5	0.5	0.25	0.25	0.25	0.25	8																																																																																																																																																																																																																																																																																																																																																																
20	64	2	16	0.031	2	0.0039	32	0.25	1	1	64	16	32	32	256	256	0.25	0.25	>1,024	>1,024	>1,024	21	128	0.25	32	0.25	4	0.016	256	0.25	1	1	32	8	1	1	0.5	0.5	0.25	0.25	0.25	0.25	16	22	128	2	16	0.25	4	0.016	128	0.25	1	1	32	8	1	1	0.5	0.5	0.25	0.25	0.25	0.25	16	COL	>1,024	4	64	0.5	64	0.031	1,024	0.25	2	1	32	4	2	2	128	128	>1,024	0.13	>1,024	>1,024	512	N315	8	2	32	0.002	8	0.002	256	0.25	0.5	0.25	32	4	1	1	0.25	0.25	>1,024	>1,024	>1,024	>1,024	512	MSSA																						1003	2	0.25	0.25	0.063	0.063	0.016	2	0.25	1	0.5	32	8	1	1	0.25	0.25	0.13	0.13	0.13	0.13	16	1010	1	0.25	0.5	0.13	0.063	0.0078	2	0.25	1	1	32	16	1	2	0.5	0.5	0.25	0.25	0.25	0.25	8	1020	1	0.25	0.13	0.031	0.031	0.0039	0.25	0.25	1	0.5	32	16	1	1	0.5	0.5	0.13	0.13	0.13	0.13	16	1032	1	0.25	0.25	0.0039	0.063	0.0039	2	0.25	1	1	32	32	1	1	0.5	0.5	0.25	0.25	0.25	0.25	16	ATCC 6538	1	0.25	0.13	0.0039	0.031	0.002	0.25	0.25	1	1	32	16	1	1	0.5	0.5	0.25	0.25	0.13	0.13	16	RN4220	2	0.25	0.13	0.002	0.031	0.002	0.25	0.0078	1	0.25	32	4	1	1	0.5	0.5	0.25	0.25	0.25	0.25	8																																																																																																																																																																																																																																																																																																																																																																																						
21	128	0.25	32	0.25	4	0.016	256	0.25	1	1	32	8	1	1	0.5	0.5	0.25	0.25	0.25	0.25	16	22	128	2	16	0.25	4	0.016	128	0.25	1	1	32	8	1	1	0.5	0.5	0.25	0.25	0.25	0.25	16	COL	>1,024	4	64	0.5	64	0.031	1,024	0.25	2	1	32	4	2	2	128	128	>1,024	0.13	>1,024	>1,024	512	N315	8	2	32	0.002	8	0.002	256	0.25	0.5	0.25	32	4	1	1	0.25	0.25	>1,024	>1,024	>1,024	>1,024	512	MSSA																						1003	2	0.25	0.25	0.063	0.063	0.016	2	0.25	1	0.5	32	8	1	1	0.25	0.25	0.13	0.13	0.13	0.13	16	1010	1	0.25	0.5	0.13	0.063	0.0078	2	0.25	1	1	32	16	1	2	0.5	0.5	0.25	0.25	0.25	0.25	8	1020	1	0.25	0.13	0.031	0.031	0.0039	0.25	0.25	1	0.5	32	16	1	1	0.5	0.5	0.13	0.13	0.13	0.13	16	1032	1	0.25	0.25	0.0039	0.063	0.0039	2	0.25	1	1	32	32	1	1	0.5	0.5	0.25	0.25	0.25	0.25	16	ATCC 6538	1	0.25	0.13	0.0039	0.031	0.002	0.25	0.25	1	1	32	16	1	1	0.5	0.5	0.25	0.25	0.13	0.13	16	RN4220	2	0.25	0.13	0.002	0.031	0.002	0.25	0.0078	1	0.25	32	4	1	1	0.5	0.5	0.25	0.25	0.25	0.25	8																																																																																																																																																																																																																																																																																																																																																																																																												
22	128	2	16	0.25	4	0.016	128	0.25	1	1	32	8	1	1	0.5	0.5	0.25	0.25	0.25	0.25	16	COL	>1,024	4	64	0.5	64	0.031	1,024	0.25	2	1	32	4	2	2	128	128	>1,024	0.13	>1,024	>1,024	512	N315	8	2	32	0.002	8	0.002	256	0.25	0.5	0.25	32	4	1	1	0.25	0.25	>1,024	>1,024	>1,024	>1,024	512	MSSA																						1003	2	0.25	0.25	0.063	0.063	0.016	2	0.25	1	0.5	32	8	1	1	0.25	0.25	0.13	0.13	0.13	0.13	16	1010	1	0.25	0.5	0.13	0.063	0.0078	2	0.25	1	1	32	16	1	2	0.5	0.5	0.25	0.25	0.25	0.25	8	1020	1	0.25	0.13	0.031	0.031	0.0039	0.25	0.25	1	0.5	32	16	1	1	0.5	0.5	0.13	0.13	0.13	0.13	16	1032	1	0.25	0.25	0.0039	0.063	0.0039	2	0.25	1	1	32	32	1	1	0.5	0.5	0.25	0.25	0.25	0.25	16	ATCC 6538	1	0.25	0.13	0.0039	0.031	0.002	0.25	0.25	1	1	32	16	1	1	0.5	0.5	0.25	0.25	0.13	0.13	16	RN4220	2	0.25	0.13	0.002	0.031	0.002	0.25	0.0078	1	0.25	32	4	1	1	0.5	0.5	0.25	0.25	0.25	0.25	8																																																																																																																																																																																																																																																																																																																																																																																																																																		
COL	>1,024	4	64	0.5	64	0.031	1,024	0.25	2	1	32	4	2	2	128	128	>1,024	0.13	>1,024	>1,024	512	N315	8	2	32	0.002	8	0.002	256	0.25	0.5	0.25	32	4	1	1	0.25	0.25	>1,024	>1,024	>1,024	>1,024	512	MSSA																						1003	2	0.25	0.25	0.063	0.063	0.016	2	0.25	1	0.5	32	8	1	1	0.25	0.25	0.13	0.13	0.13	0.13	16	1010	1	0.25	0.5	0.13	0.063	0.0078	2	0.25	1	1	32	16	1	2	0.5	0.5	0.25	0.25	0.25	0.25	8	1020	1	0.25	0.13	0.031	0.031	0.0039	0.25	0.25	1	0.5	32	16	1	1	0.5	0.5	0.13	0.13	0.13	0.13	16	1032	1	0.25	0.25	0.0039	0.063	0.0039	2	0.25	1	1	32	32	1	1	0.5	0.5	0.25	0.25	0.25	0.25	16	ATCC 6538	1	0.25	0.13	0.0039	0.031	0.002	0.25	0.25	1	1	32	16	1	1	0.5	0.5	0.25	0.25	0.13	0.13	16	RN4220	2	0.25	0.13	0.002	0.031	0.002	0.25	0.0078	1	0.25	32	4	1	1	0.5	0.5	0.25	0.25	0.25	0.25	8																																																																																																																																																																																																																																																																																																																																																																																																																																																								
N315	8	2	32	0.002	8	0.002	256	0.25	0.5	0.25	32	4	1	1	0.25	0.25	>1,024	>1,024	>1,024	>1,024	512	MSSA																						1003	2	0.25	0.25	0.063	0.063	0.016	2	0.25	1	0.5	32	8	1	1	0.25	0.25	0.13	0.13	0.13	0.13	16	1010	1	0.25	0.5	0.13	0.063	0.0078	2	0.25	1	1	32	16	1	2	0.5	0.5	0.25	0.25	0.25	0.25	8	1020	1	0.25	0.13	0.031	0.031	0.0039	0.25	0.25	1	0.5	32	16	1	1	0.5	0.5	0.13	0.13	0.13	0.13	16	1032	1	0.25	0.25	0.0039	0.063	0.0039	2	0.25	1	1	32	32	1	1	0.5	0.5	0.25	0.25	0.25	0.25	16	ATCC 6538	1	0.25	0.13	0.0039	0.031	0.002	0.25	0.25	1	1	32	16	1	1	0.5	0.5	0.25	0.25	0.13	0.13	16	RN4220	2	0.25	0.13	0.002	0.031	0.002	0.25	0.0078	1	0.25	32	4	1	1	0.5	0.5	0.25	0.25	0.25	0.25	8																																																																																																																																																																																																																																																																																																																																																																																																																																																																														
MSSA																						1003	2	0.25	0.25	0.063	0.063	0.016	2	0.25	1	0.5	32	8	1	1	0.25	0.25	0.13	0.13	0.13	0.13	16	1010	1	0.25	0.5	0.13	0.063	0.0078	2	0.25	1	1	32	16	1	2	0.5	0.5	0.25	0.25	0.25	0.25	8	1020	1	0.25	0.13	0.031	0.031	0.0039	0.25	0.25	1	0.5	32	16	1	1	0.5	0.5	0.13	0.13	0.13	0.13	16	1032	1	0.25	0.25	0.0039	0.063	0.0039	2	0.25	1	1	32	32	1	1	0.5	0.5	0.25	0.25	0.25	0.25	16	ATCC 6538	1	0.25	0.13	0.0039	0.031	0.002	0.25	0.25	1	1	32	16	1	1	0.5	0.5	0.25	0.25	0.13	0.13	16	RN4220	2	0.25	0.13	0.002	0.031	0.002	0.25	0.0078	1	0.25	32	4	1	1	0.5	0.5	0.25	0.25	0.25	0.25	8																																																																																																																																																																																																																																																																																																																																																																																																																																																																																																				
1003	2	0.25	0.25	0.063	0.063	0.016	2	0.25	1	0.5	32	8	1	1	0.25	0.25	0.13	0.13	0.13	0.13	16	1010	1	0.25	0.5	0.13	0.063	0.0078	2	0.25	1	1	32	16	1	2	0.5	0.5	0.25	0.25	0.25	0.25	8	1020	1	0.25	0.13	0.031	0.031	0.0039	0.25	0.25	1	0.5	32	16	1	1	0.5	0.5	0.13	0.13	0.13	0.13	16	1032	1	0.25	0.25	0.0039	0.063	0.0039	2	0.25	1	1	32	32	1	1	0.5	0.5	0.25	0.25	0.25	0.25	16	ATCC 6538	1	0.25	0.13	0.0039	0.031	0.002	0.25	0.25	1	1	32	16	1	1	0.5	0.5	0.25	0.25	0.13	0.13	16	RN4220	2	0.25	0.13	0.002	0.031	0.002	0.25	0.0078	1	0.25	32	4	1	1	0.5	0.5	0.25	0.25	0.25	0.25	8																																																																																																																																																																																																																																																																																																																																																																																																																																																																																																																										
1010	1	0.25	0.5	0.13	0.063	0.0078	2	0.25	1	1	32	16	1	2	0.5	0.5	0.25	0.25	0.25	0.25	8	1020	1	0.25	0.13	0.031	0.031	0.0039	0.25	0.25	1	0.5	32	16	1	1	0.5	0.5	0.13	0.13	0.13	0.13	16	1032	1	0.25	0.25	0.0039	0.063	0.0039	2	0.25	1	1	32	32	1	1	0.5	0.5	0.25	0.25	0.25	0.25	16	ATCC 6538	1	0.25	0.13	0.0039	0.031	0.002	0.25	0.25	1	1	32	16	1	1	0.5	0.5	0.25	0.25	0.13	0.13	16	RN4220	2	0.25	0.13	0.002	0.031	0.002	0.25	0.0078	1	0.25	32	4	1	1	0.5	0.5	0.25	0.25	0.25	0.25	8																																																																																																																																																																																																																																																																																																																																																																																																																																																																																																																																																
1020	1	0.25	0.13	0.031	0.031	0.0039	0.25	0.25	1	0.5	32	16	1	1	0.5	0.5	0.13	0.13	0.13	0.13	16	1032	1	0.25	0.25	0.0039	0.063	0.0039	2	0.25	1	1	32	32	1	1	0.5	0.5	0.25	0.25	0.25	0.25	16	ATCC 6538	1	0.25	0.13	0.0039	0.031	0.002	0.25	0.25	1	1	32	16	1	1	0.5	0.5	0.25	0.25	0.13	0.13	16	RN4220	2	0.25	0.13	0.002	0.031	0.002	0.25	0.0078	1	0.25	32	4	1	1	0.5	0.5	0.25	0.25	0.25	0.25	8																																																																																																																																																																																																																																																																																																																																																																																																																																																																																																																																																																						
1032	1	0.25	0.25	0.0039	0.063	0.0039	2	0.25	1	1	32	32	1	1	0.5	0.5	0.25	0.25	0.25	0.25	16	ATCC 6538	1	0.25	0.13	0.0039	0.031	0.002	0.25	0.25	1	1	32	16	1	1	0.5	0.5	0.25	0.25	0.13	0.13	16	RN4220	2	0.25	0.13	0.002	0.031	0.002	0.25	0.0078	1	0.25	32	4	1	1	0.5	0.5	0.25	0.25	0.25	0.25	8																																																																																																																																																																																																																																																																																																																																																																																																																																																																																																																																																																																												
ATCC 6538	1	0.25	0.13	0.0039	0.031	0.002	0.25	0.25	1	1	32	16	1	1	0.5	0.5	0.25	0.25	0.13	0.13	16	RN4220	2	0.25	0.13	0.002	0.031	0.002	0.25	0.0078	1	0.25	32	4	1	1	0.5	0.5	0.25	0.25	0.25	0.25	8																																																																																																																																																																																																																																																																																																																																																																																																																																																																																																																																																																																																																		
RN4220	2	0.25	0.13	0.002	0.031	0.002	0.25	0.0078	1	0.25	32	4	1	1	0.5	0.5	0.25	0.25	0.25	0.25	8																																																																																																																																																																																																																																																																																																																																																																																																																																																																																																																																																																																																																																								

^a MET, methicillin; HAP, cephalapirin; PAPM, panipenem; CTX, cefotaxime; VAN, vancomycin; STR, streptomycin; OFX, ofloxacin; TET, tetracycline; ERY, erythromycin; KAN, kanamycin. -, alone; +, with 12.5 μg of 6,7-dihydroxyflavone/ml.

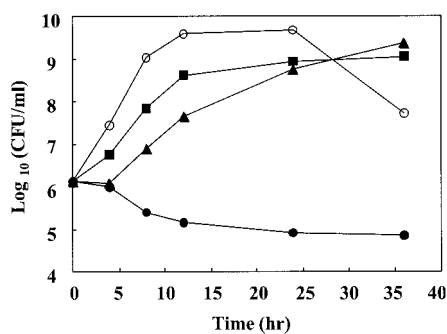


FIG. 3. Time-kill curves for 6,7-dihydroxyflavone and methicillin used against MRSA 5. Overnight cultures were diluted to approximately 10^6 CFU/ml with cation-adjusted MH broth containing either 8 μ g of methicillin (■)/ml, 25 μ g of 6,7-dihydroxyflavone (▲)/ml, or both (○). The control experiment (○) was performed by using culture medium without methicillin and 6,7-dihydroxyflavone. Bacteria were incubated at 37°C for 0, 4, 8, 12, 24, and 36 h, and viability was then confirmed by culturing the cells on MH agar plates for 24 h.

tion in the β -lactam MICs caused by transposons (16) or flavone and its derivatives. In this model, (i) PBP2a has a low affinity not only for the β -lactam ring of β -lactams but also for D-Ala-D-Ala in *N*-acetylmuramyl-pentapeptide because the β -lactam ring mimics the D-Ala-D-Ala moiety of the normal substrate. Thus (ii) PBP2a can cross-link between *N*-acetylmuramyl-pentapeptide and pentaglycine only when MRSA has been mutated such that there is an elevated concentration of *N*-acetylmuramyl-pentapeptide on the nascent cross wall (septum) as the main center of linear wall growth of the staphylococcal cell (3). Furthermore, (iii) the inhibition of peptidoglycan biosynthesis could decrease the concentration of *N*-acetylmuramyl-pentapeptide and/or pentaglycine on the nascent cross wall, such that PBP2a with low affinity for the D-Ala-D-Ala would not be able to participate in the cross-linking of peptidoglycans and such that the other four penicillin binding proteins with high affinity for the substrates would take part in the cross-linking. This could be a reason why flavone and its derivatives caused a massive reduction in the methicillin MIC even though they retained an intact PBP2a.

However, further *in vitro* and *in vivo* studies are required to confirm the model and also the relevancy of the combination therapy with 6,7-dihydroxyflavone and β -lactam antibiotics to multidrug-resistant MRSA infection.

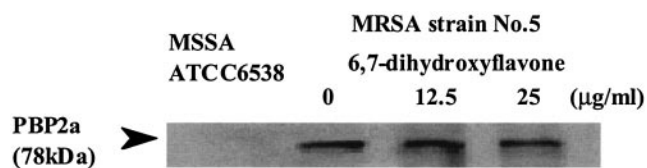


FIG. 4. Effects of 6,7-dihydroxyflavone on the amount of PBP2a in the membrane fraction of MRSA 5. MRSA 5 cells were collected at 5 h of incubation after adding a final concentration of 0, 12.5, or 25 μ g/ml of 6,7-dihydroxyflavone, and the membrane fraction (10 μ g of protein) was then loaded by sodium dodecyl sulfate-polyacrylamide gel electrophoresis and subjected to Western blotting analysis. PBP2' was detected by use of ECL Plus.

This work was supported in part by grants-in-aid for scientific research (no. 11558085 and 14390038) to T.H. from the Ministry of Education, Science, and Culture of Japan; by a fund for the Originative Study Result Fostering Project (no. 0552) from the Japan Science and Technology Corporation; and by a grant from Alps Pharmaceutical Industries Co., Ltd.

We thank the late Toru Usui, Kyoto Microbiological Institute, Kyoto, Japan, John J. Iandolo, University of Oklahoma Health Sciences Center, Hitoshi Komatsuzawa, Hiroshima University Graduate School of Biomedical Sciences, Hiroshima, Japan, and Keiichi Hiramoto, Juntendo University, Tokyo, Japan, for providing us with *S. aureus* clinical strains MRSA 1 to 22, COL, RN4220, and N315. We also thank Sankyo Co., Ltd., Tokyo, for providing panipenem.

REFERENCES

- Bajaksouzian, S., M. A. Visalli, M. R. Jacobs, and P. C. Appelbaum. 1997. Activities of levofloxacin, ofloxacin, and ciprofloxacin alone and in combination with amikacin against acinetobacters, as determined by checkerboard and time-kill studies. *Antimicrob. Agents Chemother.* **41**:1073–1076.
- Cui, L., X. Ma, K. Sato, K. Okuma, F. C. Tenover, E. M. Mamizuka, C. G. Gemmill, M. N. Kim, M. C. Ploy, N. E. Solh, V. Ferraz, and K. Hiramatsu. 2003. Cell wall thickening is a common feature of vancomycin resistance in *Staphylococcus aureus*. *J. Clin. Microbiol.* **41**:5–14.
- Giesbrecht, P., T. Kersten, H. Maidhof, and J. Wecke. 1998. Staphylococcal cell wall: morphogenesis and fatal variations in the presence of penicillin. *Microbiol. Mol. Biol. Rev.* **62**:1371–1414.
- Guz, N. R., F. R. Stermitz, J. B. Johnson, T. D. Beeson, S. Willen, J. F. Hsiang, and K. Lewis. 2001. Flavonolignan and flavone inhibitors of a *Staphylococcus aureus* multidrug resistance pump: structure-activity relationships. *J. Med. Chem.* **44**:261–268.
- Higuchi, T., Y. Sato, and S. Murasugi. September 2001. Use of flavone derivatives for induction of β -lactam-sensitivity of MRSA. U.S. patent 6,294,526 B1.
- Higuti, T., T. Negama, M. Takigawa, J. Uchida, T. Yamane, T. Asai, I. Tani, K. Oeda, M. Shimizu, K. Nakamura, and H. Ohkawa. 1988. A hydrophobic protein, chargerin II, purified from rat liver mitochondria is encoded in the unidentified reading frame A6L of mitochondrial DNA. *J. Biol. Chem.* **263**:6772–6776.
- Hiramatsu, K., N. Aritaka, H. Hanaki, S. Kawasaki, Y. Hosoda, S. Hori, Y. Fukuchi, and I. Kobayashi. 1997. Dissemination in Japanese hospitals of strains of *Staphylococcus aureus* heterogeneously resistant to vancomycin. *Lancet* **350**:1670–1673.
- Laemmli, U. K. 1970. Cleavage of structural proteins during the assembly of the head of bacteriophage T4. *Nature* **227**:680–685.
- Levy, S. B. 1998. The challenge of antibiotic resistance. *Sci. Am.* **278**:46–53.
- Nijveldt, R. J., E. Nood, D. E. Hoorn, P. G. Boelens, K. Norren, and P. A. Leeuwen. 2001. Flavonoids: a review of probable mechanisms of action and potential applications. *Am. J. Clin. Nutr.* **74**:418–425.
- Oliver, B., B. Wolfgang, and P. Gerhard. 1997. Regulation of β -lactamase synthesis as a novel site of action for suppression of methicillin resistance in *Staphylococcus aureus*. *Zentralbl. Bakteriol.* **285**:413–430.
- Putman, M., H. W. van Veen, and W. N. Konings. 2000. Molecular properties of bacterial multidrug transporters. *Microbiol. Mol. Biol. Rev.* **64**:672–693.
- Sato, Y., S. Suzaki, T. Nishikawa, M. Kihara, H. Shibata, and T. Higuti. 2000. Phytochemical flavones isolated from *Scutellaria barbata* and antibacterial activity against methicillin-resistant *Staphylococcus aureus*. *J. Ethnopharmacol.* **72**:483–488.
- Sekiguchi, K., M. Saito, and R. Yajima. 1995. Detection of methicillin-resistant *Staphylococcus aureus* (MRSA) with antibodies against synthetic peptides derived from penicillin-binding protein 2'. *Microbiol. Immunol.* **39**:545–550.
- Shibata, H., C. Shirakata, H. Kawasaki, Y. Sato, T. Kuwahara, Y. Ohnishi, N. Arakaki, and T. Higuti. 2003. Flavone markedly affects phenotypic expression of β -lactam resistance in methicillin-resistant *Staphylococcus aureus* strains isolated clinically. *Biol. Pharm. Bull.* **26**:1478–1483.
- Tomasz, A. 2000. The staphylococcal cell wall, p. 351–360. *In* V. A. Fischetti, R. P. Novick, J. J. Ferretti, D. A. Portnoy, and J. I. Rood (ed.), *Gram-positive pathogens*. American Society for Microbiology, Washington, D.C.
- Towbin, H., T. Staehelin, and J. Gordon. 1979. Electrophoretic transfer of proteins from polyacrylamide gels to nitrocellulose sheets: procedure and some applications. *Proc. Natl. Acad. Sci. USA* **76**:4350–4354.
- Weigel, L. M. 2002. High-level vancomycin resistance in a clinical isolate of *Staphylococcus aureus*, p. 16. *In* Proceedings of the 10th International Symposium on Staphylococci and Staphylococcal Infections.
- Wootton, M., R. A. Howe, T. R. Walsh, P. M. Bennett, and A. P. MacGowan. 2002. *In vitro* activity of 21 antimicrobials against vancomycin-resistant *Staphylococcus aureus* (VRSA) and hetero VRSA (hVRSA). *J. Antimicrob. Chemother.* **50**:755–766.